

УДК 546.161

МАСС-СПЕКТРАЛЬНОЕ ИССЛЕДОВАНИЕ НАСЫЩЕННОГО ПАРА ТРИФТОРИДА КОБАЛЬТА

Д. В. Рау, Н.С. Чилингаров, Л.Н. Сидоров, Ф.М. Спиридонов

(кафедра физической химии)

Эффузионным методом Кнудсена с масс-спектральным анализом продуктов испарения определено давление насыщенного пара трифторида кобальта.

Сведения, касающиеся физико-химических свойств трифторидов переходных металлов, в литературе немногочисленны. Давление насыщенного пара трифторида кобальта было определено ранее лишь в работе [1] эффузионным методом Кнудсена с масс-спектральным анализом продуктов испарения. Эксперименты проводили по стандартной методике [2] с использованием вдвоенной никелевой эффузионной камеры, в одну из секций которой помещали смесь CoF_3 и XeF_2 (массовый состав 1:1), в другую – стандарт. Сильный фторированный агент – дифторид ксенона – добавляли к исходному препарату с целью предотвращения гидролиза трифторида кобальта в результате взаимодействия с влагой, адсорбированной поверхностью препарата и ячейки. В качестве рекомендуемой величины было предложено значение энтальпии сублимации трифторида кобальта, рассчитанное по III закону термодинамики $\Delta_f H^\circ(\text{CoF}_3; 298.15 \text{ K}) = 243.5 \pm 12.2 \text{ кДж/моль}$ с использованием термодинамических функций [3]. В ходе проводимых нами исследований по фторированию ди- и трифторида кобальта атомарным фтором возникла необходимость уточнить данные по давлению насыщенного пара CoF_3 .

Экспериментальная часть

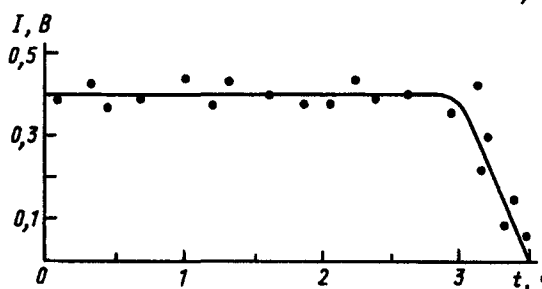
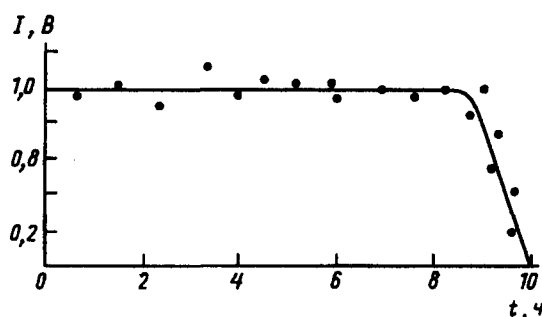
Состав газовой фазы исследовали с помощью масс-спектрометра "МИ-1201", переоборудованного для термодинамических исследований, по методике, подробно описанной в [2]. Препарат трифторида кобальта был приобретен у фирмы *Aldrich Chemical Co* ($\text{CoF}_3 > 97 \%$).

Так как трифторид кобальта неустойчив на воздухе и быстро гидролизуется, нами был проведен рентгенофазовый анализ препарата непосредственно перед экспериментом. По данным РФА препарат $\text{CoF}_3(\text{тв})$ свободен от примеси дифторида кобальта.

Препарат $\text{CoF}_3(\text{тв})$ помещали в платиновую эффузионную ячейку Кнудсена, где он изотермически испарялся. Загрузку препарата производили в сухой камере в атмосфере аргона. Было проведено два опыта с навесками 18.1 мг (опыт 1) и 9.5 мг (опыт 2). В ходе опыта снимали временную зависимость масс-спектра

при температуре 750 К, были зарегистрированы ионы CoF_n^+ ($n = 0 - 3$). Самый интенсивный сигнал был получен от CoF_2^+ . Соотношение интенсивностей сигналов CoF_n^+ ($n = 0 - 3$) сохранялось постоянным, что позволяло интерпретировать полученные данные как масс-спектр трифторида кобальта. В течение первых ~ 9 ч (опыт 1) и первых ~ 3 ч (опыт 2) абсолютные интенсивности ионов CoF_n^+ ($n = 0 - 3$) сохранялись постоянными, а затем наблюдалось резкое уменьшение интенсивностей этих сигналов ниже уровня чувствительности аппаратуры при неизменной температуре 750 К (рисунок). При данной температуре не были обнаружены продукты взаимодействия CoF_3 с материалом ячейки, а именно фториды платины.

При повышении температуры до 1022 К в масс-спектре был зарегистрирован малоинтенсивный сигнал PtF_3^+ ($m/e = 250$), что, вероятно, можно отнести к молекуле PtF_4 (ионы CoF_n^+ при этом обнаружены не



Зависимость суммарного ионного тока $I(\text{CoF}_n)$ от времени t при $T = 750 \text{ K}$ для процесса испарения трифторида кобальта

Таблица 1

Индивидуальный масс - спектр молекул CoF_3

$U_{\text{ион}}, \text{В}$	$T, \text{К}$	$I(\text{CoF}_3^+)$	$I(\text{CoF}_2^+)$	$I(\text{CoF}^+)$	$I(\text{Co}^+)$	Литература
70	750	0.28	1.00	0.31	0.11	наст. раб.
80	750	0.28	1.00	0.27	0.31	- // -
65	720 – 895	0.20	1.00	0.40	0.50	[4]
45	780 – 920	0.22	1.00	0.30	0.12	[1]

были). При дальнейшем увеличении температуры до 1103 К удалось зарегистрировать ионы CoF_n^+ ($n = 0 - 2$), соотношение интенсивностей которых совпадало с масс-спектром CoF_2 . На всем протяжении эксперимента в масс-спектре регистрировались сигналы HF^+ (перекрывание ~10%), F^+ (перекрывание ~ 14%) и H_2O^+ (перекрывание ~ 9%). После окончания эксперимента в ячейке был обнаружен остаток розового цвета. Проведенный РФА подтвердил, что остаток представляет собой дифторид кобальта.

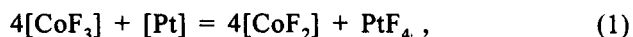
В ходе экспериментов контролировали наличие в газовой фазе ячейки молекул CoF_4 , F_2 и атомов фтора. Однако ионы, образующиеся при ионизации перечисленных молекул и атомов, обнаружены не были.

В настоящей работе получен индивидуальный масс-спектр молекул CoF_3 при значениях $U_{\text{ион}}$, равных 70 и 80 В. Для сравнения в табл. 1 приведены литературные данные по масс-спектрам трифторида кобальта.

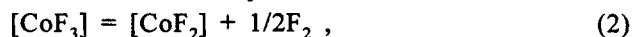
Обсуждение результатов

В процессе проведения экспериментов после испарения трифторида в ячейке был обнаружен дифторид кобальта. Вид изотермы (рисунок) четко показывает, что образуется гетерогенная смесь ди- и трифторида кобальта, для которой отсутствуют области твердых растворов. Об этом свидетельствует то, что давление CoF_3 в течение длительного времени постоянно, а затем сравнительно быстро падает. Зафиксировать CoF_2 в газовой фазе удается при повышении температуры до ~ 1100 К, что совпадает с литературными данными по давлению пара дифторида кобальта [5]. Это обстоятельство позволяет утверждать, что определенное нами давление пара CoF_3 является давлением его насыщенного пара, и процесс образования CoF_2 не оказывает существенного влияния на эту величину. Однако точность определения несколько снижается в связи с тем, что приходится вносить поправку на образование дифторида кобальта и из исходной навески вычитать количество трифторида, превращающегося в CoF_2 . Возникает вопрос о происхождении CoF_2 . Можно предположить следующие возможности образования дифторида кобальта в ходе эксперимента:

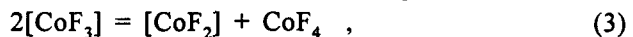
а) взаимодействие $\text{CoF}_3(\text{тв})$ с материалом ячейки Pt(мет)



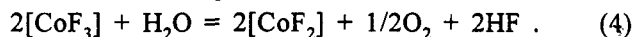
б) разложение $\text{CoF}_3(\text{тв})$



в) диспропорционирование $\text{CoF}_3(\text{тв})$



г) гидролиз $\text{CoF}_3(\text{тв})$



Однако тетрафторид кобальта и молекулярный фтор обнаружены не были. Был зарегистрирован малоинтенсивный сигнал PtF_3^+ , который, вероятно, является осколочным из PtF_4 , что не позволяет полностью исключить образование CoF_2 по реакции (1). Однако этот процесс вряд ли можно считать основным источником образования дифторида кобальта, поскольку крайне низкое парциальное давление $P(\text{PtF}_4) \sim 2.6 \cdot 10^{-7}$ атм не согласуется с довольно значительным количеством остатка CoF_2 после эксперимента. Образование дифторида кобальта в результате гидролиза трифторида (4) возможно, но для количественного объяснения следовало бы предположить довольно длительный контакт препарата с влагой воздуха, что было исключено процедурой загрузки в сухой камере. Таким образом, ни одна из вышеприведенных возможностей не дает удовлетворительного количественного объяснения процессу образования CoF_2 , и в настоящее время этот вопрос остается открытым.

Для расчета давления насыщенного пара трифторида кобальта нами был вычислен коэффициент чувствительности прибора (атм/В·К) по уравнению Герца – Кнудсена, преобразованного для масс-спектральных экспериментов [2]

$$K_{\text{ч}} = 3.15 \cdot 10^{-3} \frac{q \sigma (2\pi MR)^{1/2}}{S_{\text{эф}} T^{1/2} \int_0^t dt},$$

Таблица 2

Экспериментальные данные по испарению трифторида кобальта ($T = 750$ К).

Номер опыта	M, мг			d, мм	L	P(CoF ₃), атм. 10 ⁵
	1	2	3			
1	18.1	6.8	10.0	0.24	0.92	4.1
2	9.5	5.4	3.0	0.25	0.93	3.2

Примечание. 1 – исходная навеска CoF₃, 2 – остаток CoF₂, 3 – масса испарившегося CoF₃, d – диаметр эффузионного отверстия, L – коэффициент Клаузинга, P – давление CoF₃. Количество испарившегося CoF₃ определяли как разность исходной навески и остатка CoF₂, пересчитанного на CoF₃.

где q (моль) – количество испарившегося CoF₃ за время t (с); σ – полное сечение ионизации молекулы CoF₃, вычисляемое по аддитивной схеме [2]; M (г/моль) – молекулярная масса CoF₃; $S_{эфф}$ (см²) – площадь эффузии; T (К) – температура; I(B) – суммарный ток ионов, образованных при ионизации молекулы CoF₃.

Давление пара (атм) $P(\text{CoF}_3)$ рассчитывали по формуле [2]

$$P = K_4 \cdot I \cdot T / \sigma, \quad (6)$$

где I(B) – суммарный ток ионов, образованных при ионизации молекулы CoF₃; s – полное сечение ионизации молекулы CoF₃; T (К) – температура.

Экспериментальные данные представлены на рисунке и в табл. 2.

Среднее значение результатов двух опытов по изотермическому испарению трифторида кобальта составило $(3.7 \pm 0.5) \cdot 10^{-5}$ атм при $T = 750$ К.

Так как по окончании опытов в ячейке был обнаружен дифторид кобальта, давление которого достаточно хорошо известно [5], то используя его как стандарт, мы рассчитали $P(\text{CoF}_3)$ по формуле (6). Была получена величина $3.3 \pm 1.0 \cdot 10^{-5}$ атм. В табл. 3 приведено для сравнения литературное значение давления насыщенного пара трифторида кобальта.

Таблица 3

Давление насыщенного пара трифторида кобальта

T, К	$P(\text{CoF}_3)$, атм. 10 ⁵	Литература
750	3.7	наст. раб. (полное испарение)
750	3.3	наст. раб. (по стандарту CoF ₂)
750	0.19*	[5]

*Приведенная в банке данных ИВТАНТЕРМО [5] величина рассчитана с учетом энтальпии сублимации $\Delta_s H^0(\text{CoF}_3, 298 \text{ К})$, полученной в работе [1].

Как видно из табл. 3, полученные нами величины $P(\text{CoF}_3)$ хорошо согласуются между собой и \sim в 20 раз превышают литературные значения, что явно выходит за пределы возможных ошибок измерений. Мы предполагаем, что причиной такого отличия является взаимодействие CoF₃ с материалом ячейки – никелем [1], приводящее, вероятно, к существенному понижению активности трифторида. Следует заметить, что при загрузке CoF₃ в никелевую ячейку зафиксировать молекулы трифторида в газовой фазе вообще не удастся. Добавка ХеF₂ способствует частичному фторированию никелевой поверхности, что дает возможность регистрировать молекулы CoF₃, однако при этом давление трифторида не соответствует давлению насыщенного пара.

Рекомендуемое нами значение энтальпии сублимации трифторида кобальта $\Delta_s H^0(\text{CoF}_3, 0 \text{ К}) = 213.7 \pm 11.0$ кДж/моль рассчитано с использованием термодинамических функций [5] по III закону термодинамики на основании экспериментальных данных по полному испарению CoF₃. Погрешность расчета включает экспериментальный разброс точек и погрешность термодинамических функций.

Работа выполнена при финансовой поддержке Российского фонда фундаментальных исследований, грант № 95-03-09780.

СПИСОК ЛИТЕРАТУРЫ

1. Никулин В.В., Попов А.И., Зайцева И.Г., Коробов М.В., Киселев Ю.М., Сидоров Л.Н. // Ж.Н.Х. 1984. 29. С. 38.
2. Сидоров Л.Н., Коробов М.В., Журавлева Л.В. Масс-спектральные термодинамические исследования. М., 1985.
3. JANAF Thermochemical Tables. 2-nd Ed. NSRDS - NBS. N37. Washington, 1971. Supplement 1974. Supplement 1978.
4. Чилингаров Н.С., Скокан Е.В., Рау Д.В., Сидоров Л.Н. // ЖФХ. 1992. 66. С. 2612.
5. Гурвич Л.В. ИВТАНТЕРМО - автоматизированная система данных о термодинамических свойствах веществ // Вестн. АН СССР. 1983. N 3. С. 54.

Поступила в редакцию 08.10.96